

© Баньковская И. Б., Коловертнов Д. В., Ефименко Л. П.

## ПОЛУЧЕНИЕ И ИССЛЕДОВАНИЕ КОМПОЗИТОВ В СИСТЕМЕ $ZrB_2-Si$

*Институт химии силикатов им. И. В. Гребенщикова РАН,  
Россия, 199034, Санкт-Петербург, наб. Макарова, 2,  
e-mail:inbankov@isc1.nw.ru*

При неизотермическом окислении в воздушной атмосфере на основе композиции  $ZrB_2-Si$  получены жаростойкие стеклокерамические материалы, изучена их структура, фазовый состав и свойства (пористость, термическое расширение, жаростойкость). Композиционные материалы имеют сложную гетерогенную структуру — в стеклообразной матрице закапсулированы кристаллические частицы как исходных фаз ( $ZrB_2$ ,  $Si$ ), так и фаз, образовавшихся в результате окисления на воздухе ( $ZrO_2$ ,  $ZrSiO_4$ ,  $\alpha$ -кристобаллит).

**Ключевые слова:** жаростойкие стеклокерамические материалы, реакционный синтез, кремний, борид циркония, защита графита от окисления.

**Введение.** Проблема создания и внедрения в практику высокотемпературных покрытий для защиты углеродных материалов продолжает оставаться актуальной в связи с потребностью ряда отраслей промышленности в материалах, способных работать в экстремальных условиях — при высоких температурах в агрессивных средах. Как правило, защитные покрытия на графит формируются в инертной среде [1].

Нами проводятся систематические исследования возможности получения жаростойких композитов и покрытий в воздушной атмосфере путем получения стеклообразующего расплава при реакции окисления исходных бескислородных тугоплавких соединений [2—8].

Образование расплава в ходе реакции исключает предварительную варку стекла. Кроме того, термообработка в воздушной среде не требует дорогостоящего оборудования, необходимого в случае использования инертной среды.

Стеклообразующий расплав появляется в процессе термообработки за счет окисления исходных компонентов и последующего взаимодействия продуктов окисления. Исходными компонентами могут быть кремний- и борсодержащие соединения, при окислении которых образуются оксиды, способные давать стеклообразующий расплав.

Ранее на основе композиции  $ZrB_2-Si$  была показана возможность получения при изотермическом окислении в воздушной среде жаростойкого покрытия на графите. Покрытие испытано при 1400 °C в течение 1 ч с положительным эффектом [9].

Цель настоящей работы — синтез беспористых композиционных материалов системы  $ZrB_2-Si$  путем неизотермического окисления на воздухе, изучение их структуры и свойств.

**Экспериментальная часть.** Образцы были изготовлены методом шликерного литья с использованием порошковых композиций составов  $(100 - x)ZrB_2 - xSi$ , где

Поступило 28 мая 2010 г.

Таблица 1  
Результаты РФА поверхности образцов после термообработки

Состав, мас. %		Фазовый состав* после термообработки по режиму**			
ZrB <sub>2</sub>	Si	I	II	III	IIIa
95	5	ZrO <sub>2</sub>	ZrO <sub>2</sub>	ZrO <sub>2</sub>	ZrO <sub>2</sub> , α-кристобалит
90	10	ZrO <sub>2</sub> , ZrSiO <sub>4</sub>	ZrO <sub>2</sub>	ZrO <sub>2</sub> , ZrSiO <sub>4</sub> , α-кристобалит	ZrO <sub>2</sub> , ZrSiO <sub>4</sub> , α-кристобалит
80	20	ZrO <sub>2</sub> , ZrSiO <sub>4</sub>	ZrO <sub>2</sub> , ZrSiO <sub>4</sub> , α-кристобалит	ZrO <sub>2</sub> , ZrSiO <sub>4</sub> , α-кристобалит	ZrO <sub>2</sub> , ZrSiO <sub>4</sub> , α-кристобалит
70	30	ZrO <sub>2</sub> , ZrSiO <sub>4</sub> , α-кристобалит	ZrO <sub>2</sub> , ZrSiO <sub>4</sub> , α-кристобалит	ZrO <sub>2</sub> , ZrSiO <sub>4</sub> , α-кристобалит	ZrO <sub>2</sub> , ZrSiO <sub>4</sub> , α-кристобалит
60	40	ZrO <sub>2</sub> , ZrSiO <sub>4</sub> , α-кристобалит	Si, ZrO <sub>2</sub> , ZrSiO <sub>4</sub> , α-кристобалит	Si, ZrO <sub>2</sub> , ZrSiO <sub>4</sub> , α-кристобалит	Si, ZrO <sub>2</sub> , ZrSiO <sub>4</sub> , α-кристобалит
50	50	ZrO <sub>2</sub> , ZrSiO <sub>4</sub> , α-кристобалит	Si, ZrO <sub>2</sub> , ZrSiO <sub>4</sub> , α-кристобалит	Si, ZrO <sub>2</sub> , ZrSiO <sub>4</sub> , α-кристобалит	Si, ZrO <sub>2</sub> , ZrSiO <sub>4</sub> , α-кристобалит

Примечание. \* ZrO<sub>2</sub> — моноклинная модификация. \*\* Во всех случаях в качестве связующего использована МЦ, кроме режима IIIa. По режиму IIIa использован золь SiO<sub>2</sub>.

$x = 5, 10, 20, 30, 40, 50$  мас. % (табл. 1). Размер частиц порошков не превышал 63 мкм. В качестве связующего и супендирующего вещества использовали 1%-й водный раствор метилцеллюлозы (МЦ) или 25%-й раствор золя SiO<sub>2</sub>. Метилцеллюлоза выгорает в процессе термообработки, а золь SiO<sub>2</sub> участвует в формировании композиционного материала.

Размер образцов составлял  $1.5 \times 1.5 \times 0.5$  см. Образцы сушили при комнатной температуре в течение 2—3 сут.

Термообработку образцов осуществляли в электрической печи с силитовыми нагревателями в воздушной среде. Образцы помещали в холодную печь на подставках из высокоглиноземистой керамики. Для определения влияния условий синтеза на свойства нового материала нагревание образцов от комнатной температуры до температуры формирования проводили по трем разным режимам: I — от 20 до 1200 °C со скоростью 3 °C/мин; II — от 20 до 1400 °C со скоростью 15 °C/мин; III — от 20 до 1400 °C со скоростью 7 °C/мин. Охлаждение образцов во всех случаях проводили вместе с печью.

Исследования структуры и свойств полученных материалов проведены методами термического, термогравиметрического, дилатометрического анализов, качественно-го и количественного рентгенофазового анализа (РФА), электронно-зондового микронализа, также измерена пористость.

Исследования методом РФА проведены на установке ДРОН-2.0 с использованием CuK<sub>α</sub>-излучения с никелевым фильтром, а качественный анализ — на порошковом дифрактометре D-500 HS Siemens с использованием CuK<sub>α</sub>-излучения в режиме 30 mA, 35 kV. В качестве эталона использована порошковая смесь состава (мас. %) 25ZrB<sub>2</sub> · 25Si · 25ZrSiO<sub>4</sub> · 25α-SiO<sub>2</sub>, поскольку качественный анализ образцов показал наличие данных фаз. Погрешность качественного определения фазового состава составила 5 %.

Электронно-зондовый микронализ выполнен на установке Камебакс при ускоряющем напряжении электронов 15 кВ. Количественный микронализ проведен по характеристическим рентгеновским линиям ZrL<sub>α</sub>, SiK<sub>α</sub> с использованием эталонов чистых элементов Zr и Si. Переход от интенсивностей характеристического рентгеновского излучения к массовым концентрациям выполнен по методу ZAF-коррекции, при этом бор и кислород в составе соединений учтены по стехиометрии.

Для определения пористости образцов использован метод, принятый в технологии керамики (ГОСТ 2409-53). Коэффициент линейного термического расширения (КЛТР) определяли на наклонном кварцевом дилатометре по методике ИХС РАН [11].

Жаростойкость материалов характеризовали изменением массы образцов на единицу поверхности при заданной температуре за определенное время испытаний  $\Delta m$  ( $\text{мг}/\text{см}^2$ ).

**Экспериментальные результаты и их обсуждение.** Визуальный осмотр образцов после синтеза показал следующее. Образцы, полученные по I режиму, имели серую или темно-серую поверхность без блеска. Образцы, сформированные по II режиму, имели серую или темно-серую поверхность без блеска или с блеском (составы с содержанием кремния  $x = 10, 20$ ). Образцы, термообработанные по III режиму, где в качестве связующего использована МЦ, имели светло-серую и серую поверхность без блеска. Образцы, где в качестве связующего использован золь  $\text{SiO}_2$ , имели светло-серую стекловидную поверхность. Увеличение массы образцов во всех случаях находилось в диапазоне  $\Delta m = 3.5—10 \text{ мг}/\text{см}^2$ . Следует отметить, что изменение цвета образцов, наличие или отсутствие блеска свидетельствуют об изменении фазового состава в поверхностном слое образцов.

Композит состава (мас. %)  $50\text{ZrB}_2 \cdot 50\text{Si}$ , полученный с использованием МЦ по III режиму, с дополнительной термообработкой в воздушной среде при температуре  $1400^\circ\text{C}$  в течение 2 ч исследован методом микрорентгеноспектрального анализа (МРСА). Качественный анализ, выполненный по линиям  $\text{Zr}L_\alpha$ ,  $\text{Si}K_\alpha$ ,  $\text{B}K_\alpha$ ,  $\text{OK}_\alpha$  (рис. 1, 2), позволил идентифицировать фазовые составляющие композита — исходные бескислородные компоненты ( $\text{ZrB}_2$ ,  $\text{Si}$ ) и продукты окисления ( $\text{ZrO}_2$ ,  $\text{ZrSiO}_4$ ,  $\alpha$ -кристобалит, стекломатрицу).

Шлиф для количественного анализа подготовлен следующим образом: после сошлифования одной поверхности образца на глубину  $\sim 2 \text{ мм}$  его размер равнялся  $2 \times 5 \times 10 \text{ мм}$ , поверхность материала очищали от абразива на ультразвуковой установке, далее образцы помещали в алюминиевую оправу и закрепляли в ней сплавом Вуда. Для доказательства воспроизводимости с каждого зерна шлифа анализировали по нескольку точек (табл. 2).

Установлено, что основными кристаллическими фазами являются высокотемпературные соединения  $\text{ZrB}_2$  ( $33.5 \pm 2.4 \text{ ат. \% Zr}$ ),  $\text{Si}$  (100 % Si),  $\text{ZrO}_2$  ( $30.3 \pm 3.1 \text{ ат. \% Zr}$ ),  $\text{SiO}_2$  ( $30.0 \pm 1.0 \text{ ат. \% Si}$ ),  $\text{ZrSiO}_4$  ( $16.3 \pm 1.1 \text{ ат. \% Zr}, 16.1 \pm 1.2 \text{ ат. \% Si}$ ) (табл. 2). Микро- и ультрадисперсные кристаллы этих фаз распределены в матрице тугоплавкого боросиликатного стекла с содержанием кремнезема выше 70 мол. %.

Материалы системы  $\text{ZrB}_2—\text{Si}$ , полученные по IIIa (см. табл. 1), испытаны в воздушной атмосфере при  $1400^\circ\text{C}$ , 25 ч;  $1500^\circ\text{C}$ , 1 ч;  $2000^\circ\text{C}$ , 30 с. Изменение массы композитов в зависимости от состава составило  $\Delta m = 0.02—10 \text{ мг}/\text{см}^2$ , что свидетельствует о высокой жаростойкости материалов. Фазовый состав поверхностного слоя после испытаний не изменился.

На основе системы  $\text{ZrB}_2—\text{Si}$  получены жаростойкие покрытия, защищающие графит от окисления при температурах выше  $1400^\circ\text{C}$ . На рис. 3 представлена кинетическая кривая окисления графита с покрытием, сформированным по режиму IIIa. Приведены средние значения увеличения массы образца по пяти измерениям. Видно, что после формирования в течение 1 ч от комнатной температуры до  $1400^\circ\text{C}$  увеличение массы составило  $\Delta m = 30 \text{ мг}/\text{см}^2$ ; после дополнительной термообработки при  $1400^\circ\text{C}$  в течение 5 ч увеличение массы составило менее  $5 \text{ мг}/\text{см}^2$ . При раскалывании образца пополам выгорания графита не зафиксировано.

Пористость образцов определяли по методу, принятому в технологии керамики, а именно кипячением в воде в течение 3 ч с последующей выдержкой в воде в течение 1 ч. Установлено, что пористость синтезированных материалов в зависимости от ре-

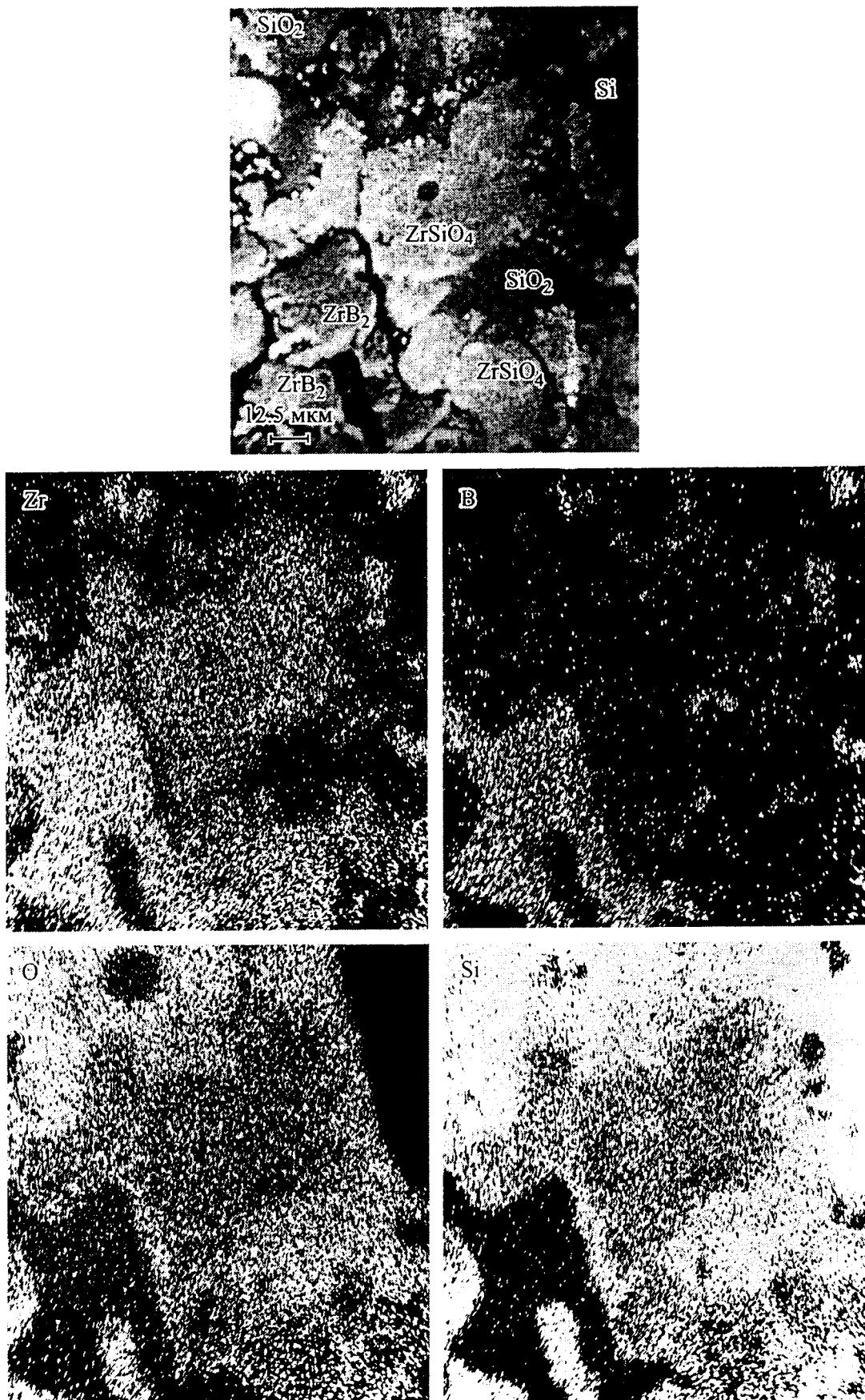


Рис. 1. Микроструктура композиции состава (мас. %) 50 $\text{ZrB}_2$ ·50 $\text{Si}$  после термообработки по режиму III (поверхность на глубине 0.6 мм). Верхний снимок — в поглощенных электронах; нижние — во вторичных электронах при рентгеновских излучениях  $\text{Zr}L_{\alpha}$ ,  $\text{B}K_{\alpha}$ ,  $\text{O}K_{\alpha}$ ,  $\text{Si}K_{\alpha}$ .

Увеличение  $\times 800$ .

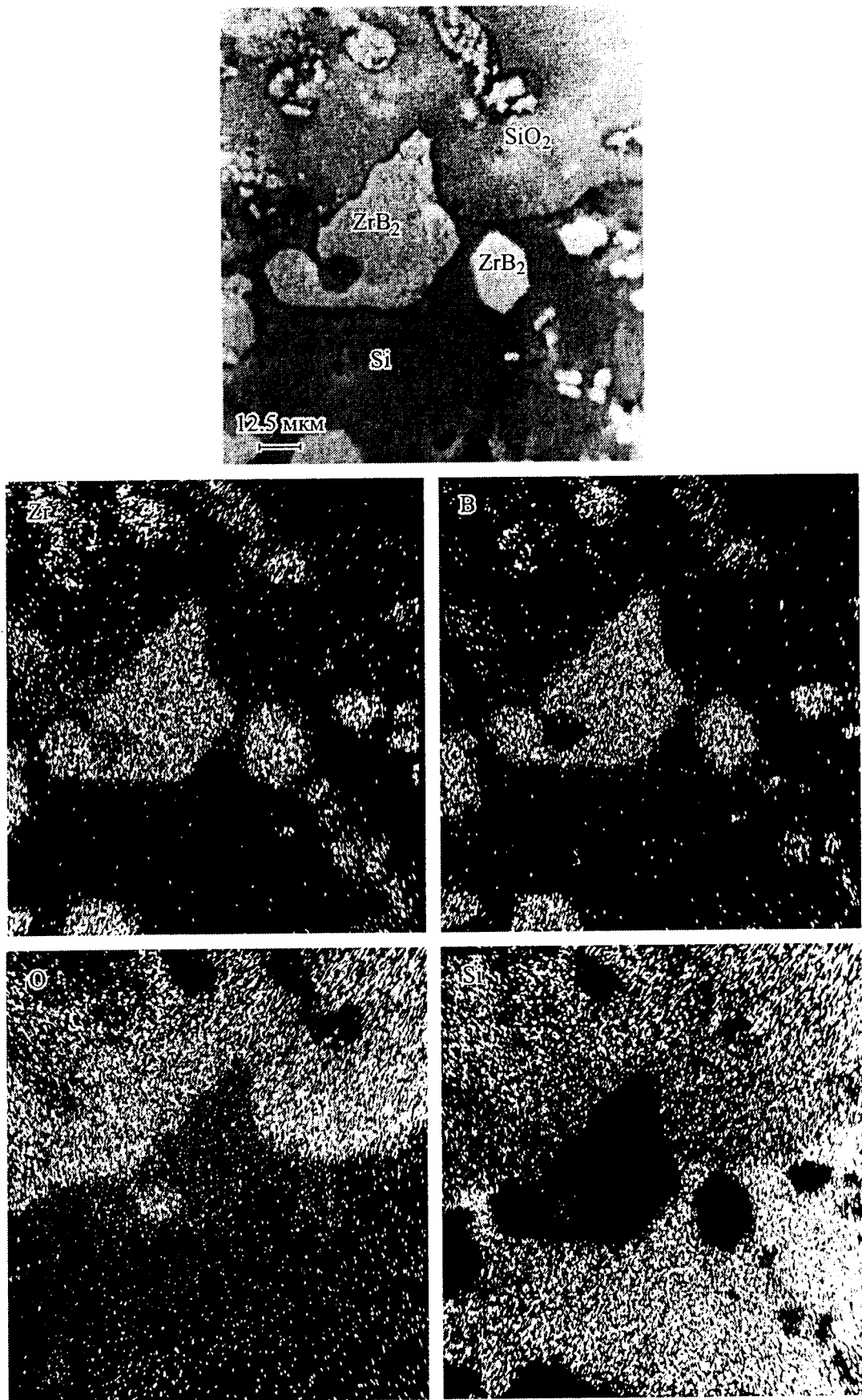


Рис. 2. Микроструктура композиции состава (мас. %) 50ZrB<sub>2</sub>·50Si после термообработки по режиму IIIa (поверхность на глубине 1,5 мм).

Пояснения к снимкам — на рис. 1.

Таблица 2  
Химический состав и идентифицированные фазы (по данным МРСА)

Zr	O	Скорректированные мас. %		Идентифицированные фазы
		B	Si	
70.261	29.739	—	—	$\text{ZrO}_2$
71.284	28.716	—	—	
71.655	28.345	—	—	
80.576	—	19.424*	—	
81.445	—	18.555	—	$\text{ZrB}_2$
47.710	37.271	—	15.019	$\text{ZrSiO}_4$
49.467	35.120	—	15.413	
48.750	36.077	—	15.173	
—	53.640	—	46.360	$\text{SiO}_2$
—	54.010	—	45.990	
—	53.280	—	46.720	

Примечание. Исходная композиция 50 мас. %  $\text{ZrB}_2$ , 50 мас. % Si. Термообработка  $20 \rightarrow 1400^\circ\text{C} + 1 \text{ ч } 1400^\circ\text{C}$ , скорость нагревания и охлаждения 7 град/мин. Образцы металлоподобные с нулевой пористостью. \* Рассчитан по разнице.

жима получения составляет 0.1—10 %. Образцы, сформированные по I режиму, оказались нестойкими, они разрушились при кипячении в воде. Вероятно, в процессе термообработки по I режиму происходит образование стекломатрицы с высоким содержанием борного ангидрида, который легко растворяется в воде.

Образцы, полученные по III режиму с использованием золя  $\text{SiO}_2$  в качестве связующего, оказались самыми стойкими — ни один образец не разрушился при кипячении в воде в отличие от образцов, полученных с использованием МЦ, среди которых разрушился образец состава (мас. %)  $90\text{ZrB}_2 \cdot 10\text{Si}$ . Упрочнение связано с тем, что золь  $\text{SiO}_2$  непосредственно участвует в формировании стекломатрицы композита и делает ее химически стойкой.

Установлено, что композиционные материалы составов (мас. %)  $(100 - x)\text{ZrB}_2 - x\text{Si}$ , где  $x = 20, 50$ , полученные по II и III режимам синтеза, имеют низкую пористость 0.1—0.3 %.

Коэффициент линейного термического расширения продуктов окисления образца композита (мас. %)  $50\text{ZrB}_2 \cdot 50\text{Si}$  составил  $36 \cdot 10^{-7} \text{ K}^{-1}$  в интервале температур от 20 до  $500^\circ\text{C}$ , что близко к ТКЛР графита [10].

Результаты термического анализа порошкообразных образцов борида циркония, кремния и их смеси представлены на рис. 4. Видно, что введение кремния в состав композиции не меняет положения экзотермических пиков борида циркония, т. е. общая картина окисления борида циркония не изменяется.

Микроструктура образцов гетерогенная — стеклообразная матрица капсулирует частицы кристаллических фаз как исходных, так и образовавшихся оксидных соединений (рис. 3, 4). По данным МРСА, удельное содержание стекломатрицы в объеме материала составляет около 30 об. %.

Результаты РФА поверхности образцов представлены в табл. 1. На поверхности образцов зафиксированы кристаллические фазы Si,  $\text{ZrO}_2$ ,  $\text{ZrSiO}_4$ ,  $\alpha$ -кристобалит. Фазовый состав поверхностного слоя меняется в зависимости от исходного состава компонентов, связующего и режима термообработки. Например, после термообработки по I режиму  $\alpha$ -кристобалит появляется в композитах состава (мас. %)  $(100 - x)\text{ZrB}_2 - x\text{Si}$  с содержанием кремния  $x \geq 30$ , в случае II режима термообработки — в композитах с содержанием кремния  $x \geq 20$ . При использовании 1%-го рас-

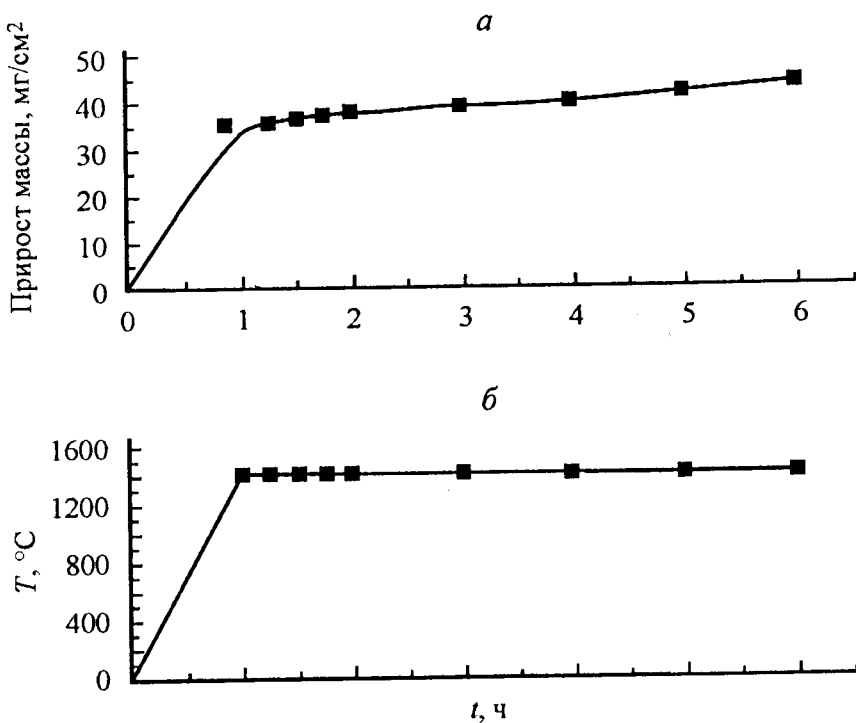


Рис. 3. Кинетика окисления графита (а) и режим термообработки (б) покрытия состава (мас. %)  $50\text{ZrB}_2 \cdot 50\text{Si}$  после термообработки по режиму IIIa.

твора МЦ в качестве связующего при синтезе по III режиму  $\alpha$ -кристобалит появляется в композитах с содержанием кремния  $x \geq 10$ , а при использовании золя  $\text{SiO}_2$  — с более низким содержанием кремния ( $x \geq 5$ ).

Образец состава (мас. %)  $50\text{ZrB}_2 \cdot 50\text{Si}$ , полученный с использованием 1%-го раствора МЦ по III режиму термообработки, исследован методом послойного рентгеновского фазового анализа. Результаты представлены в табл. 3. Видно, что фазовые составы поверхности слоя и внутреннего объема образца различны. После снятия поверхностного слоя глубиной  $\sim 0.3$  мм наряду с кристаллическими фазами, присутствую-

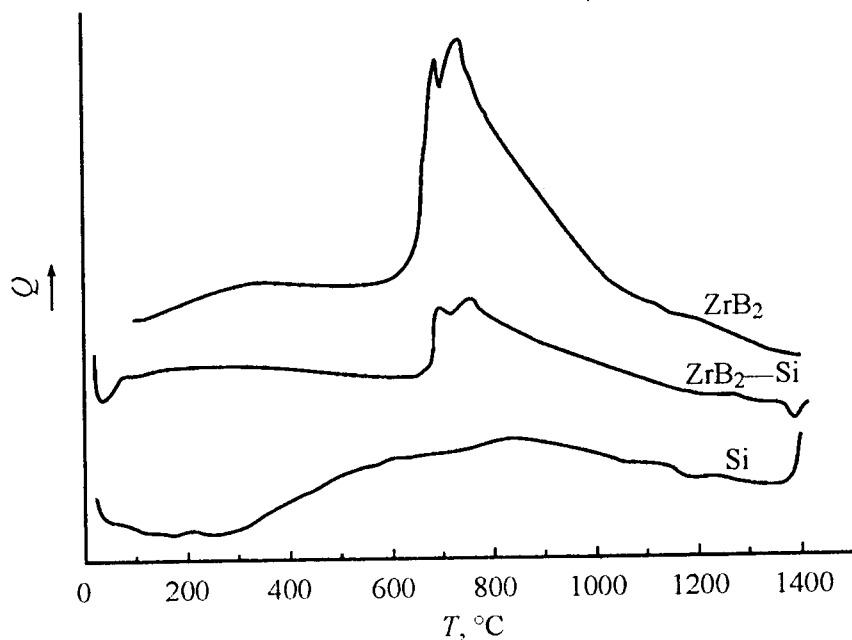


Рис. 4. Термограммы порошкообразных образцов борида циркония, кремния и смеси борида циркония и кремния, взятых в соотношении по массе 1 : 1.

Таблица 3  
Результаты послойного РФА образца состава  $50\text{ZrB}_2 \cdot 50\text{Si}$   
после термообработки по режиму IIIa

Общая толщина снятой пленки, мм	Кристаллические фазы на поверхности образца после снятия пленки
—	Si, $\text{ZrO}_2$ , $\alpha$ -кристобалит, $\text{ZrSiO}_4$
0.3	$\text{ZrB}_2$ , Si, $\text{ZrO}_2$ , $\alpha$ -кристобалит, $\text{ZrSiO}_4$
0.6	То же
0.6*	» »
1.0	$\text{ZrB}_2$ , Si, $\text{ZrO}_2$ , $\alpha$ -кристобалит
1.5	То же

Примечание. \* — образец был испытан при  $1400^\circ\text{C}$  в течение 10 ч.

щими в поверхностном слое, фиксируются дифракционные пики диборида циркония  $\text{ZrB}_2$ . При снятии слоя толщиной  $\sim 0.6$  мм эти фазы присутствуют в объеме материала даже после 10 ч испытаний при температуре  $1400^\circ\text{C}$ . Дифракционные пики  $\text{ZrSiO}_4$  исчезают в объеме материала только на глубине  $\sim 1$  мм и более.

Проведен количественный РФА образца состава (мас. %)  $50\text{ZrB}_2 \cdot 50\text{Si}$ , полученного по режиму IIIa. Наряду с эталонами анализировали образец в виде порошка. Установлено, что после термообработки содержание  $\text{ZrB}_2$  уменьшается до 42 %, кристаллического кремния — до 26 %, а содержание  $\text{ZrSiO}_4$  и  $\alpha$ -кристобалита составляет 5 и 27 % соответственно (табл. 4).

Согласно данным РФА, в поверхностном слое образцов после испытаний во всех режимах зафиксированы кристаллические фазы  $\text{ZrO}_2$ ,  $\text{ZrSiO}_4$  и  $\alpha$ -кристобалит. После испытаний при  $2000^\circ\text{C}$  в течение 30 с на поверхности образца также фиксируются неокисленные частицы  $\text{ZrB}_2$ , что свидетельствует о быстром образовании защитного остеклованного слоя, капсулирующего частицы диборида циркония.

На основе композиции системы  $\text{ZrB}_2\text{—Si}$  с использованием неизотермического режима термообработки в воздушной атмосфере получены жаростойкие покрытия на графит, которые выдержали испытания при  $1400^\circ\text{C}$  в течение более 100 ч. Образцы, полученные по III режиму, испытаны с положительным эффектом в воздушной атмосфере при температуре  $1550^\circ\text{C}$  в течение 1 ч и при  $2000^\circ\text{C}$  в течение 30 с. В зависимости от состава образцов после испытаний при температуре  $1400^\circ\text{C}$  изменение массы составило  $\Delta m = 0.02\text{—}10 \text{ мг}/\text{см}^2$ ; при  $1550$  и  $2000^\circ\text{C}$  —  $\Delta m \approx 0.5 \text{ мг}/\text{см}^2$ . Фазовый состав поверхностного слоя покрытий после испытаний остался без изменений.

На поверхности графита после сошлифования покрытия с образца с помощью РФА было установлено наличие подслоя — фазы  $\text{SiC}$ , являющейся продуктом взаимодействия графита с кремнием. Карбид кремния обеспечивает прочное сцепление покрытия с подложкой.

Сравнивая жаростойкость покрытий, полученных по изотермическому [9] и по неизотермическому режиму, следует отметить, что при обоих режимах формирования покрытия обеспечивается надежная защита графита от окисления.

Таблица 4  
Фазовый состав образца до и после термообработки (мас. %)

Фаза	$\text{ZrB}_2$	Si	$\text{ZrO}_2$	$\text{ZrSiO}_4$	$\alpha$ -кристобалит
Исходный состав	50	50	—	—	—
Состав после термообработки при $1400^\circ\text{C}$	42	26	—	5	27

**Заключение.** На основе композиции системы ZrB<sub>2</sub>—Si получены жаростойкие композиционные материалы и защитные покрытия на графит в воздушной среде с использованием неизотермического режима нагревания до температуры 1400 °C. Установлен оптимальный состав исходной композиции (мас. %) 50ZrB<sub>2</sub>·50Si и оптимальный режим синтеза — нагревание от 20 до 1400 °C со скоростью 7 °C/мин. Полученные композиционные материалы имеют низкую пористость 0.1—0.3 %. Образцы графита с покрытиями испытаны в воздушной атмосфере при 1400 °C свыше 100 ч с положительным эффектом.

Материалы работы изложены на XI International Conference European Ceramic Society (Krakov, 21—25 June 2009).

Работа выполнена при поддержке ведущей научной школы НШ-5706.2008.3 и научной программы Отделения химии и наук о материалах РАН-2009.

#### С п и с о к л и т е р а т у р ы

1. Баньковская И. Б., Горбатова Г. Н., Сазонова М. В., Филипович В. Н. Керамические покрытия для углеродных материалов // ЖПХ. 1997. Т. 70. № 11. С. 1907—1909.
2. Баньковская И. Б., Горбатова Г. Н., Поляц С. В. Жаростойкие покрытия на графит в системе борид циркония—кремнезем // Температуроустойчивые функциональные покрытия. СПб.: Янус, 2003. Т. 1. С. 30—32.
3. Баньковская И. Б., Жабрев В. А. Кинетический анализ жаростойкости композиций ZrB<sub>2</sub>—SiC // Физ. и хим. стекла. 2005. Т. 31. № 4. С. 650—661.
4. Баньковская И. Б., Семов М. П., Лапшин А. Е., Костырева Т. Г. Нанотехнология капсулирования борида циркония при формировании жаростойких покрытий // Физ. и хим. стекла. 2005. Т. 31. № 4. С. 581—588.
5. Баньковская И. Б. Процессы окисления стеклокерамических композиций на основе борида титана // Физ. и хим. стекла. 2007. Т. 33. № 1. С. 111—118.
6. Коловертнов Д. В., Баньковская И. Б., Юрицын Н. С. Термогравиметрическое изучение окисления композиции ZrB<sub>2</sub>—SiO<sub>2</sub> в температурном интервале 800—1300 °C // Физ. и хим. стекла. 2008. Т. 34. № 4. С. 599—609.
7. Баньковская И. Б. Создание нового поколения высокотемпературных стеклокерамических композиций и покрытий и исследование их физико-химических свойств. Автореф. докт. дис. СПб., 2006. 40 с.
8. Карпиченко Е. А., Ефименко Л. П. Получение и термостабильность композиционного материала Si + алюмоборосиликатное стекло // Неорган. матер. 1996. Т. 32. № 5. С. 620—623.
9. Горбатова Г. Н., Баньковская И. Б., Юрицын Н. С., Малыгина И. С. Изучение жаростойкости и фазового состава композиции ZrB<sub>2</sub>—Si // ЖПХ. 2001. Т. 74. № 7. С. 1048—1050.
10. Allen R. D. Thermal expansion of synthetic graphites between 80 and 2000 °F // Am. Ceram. Soc. Bull. 1962. V. 1. N 7. P. 460—466.
11. Клюев В. П., Певзнер Б. З. Тепловое расширение и температура стеклования кальциевоборатных и кальциевоалюмоборатных стекол // Физ. и хим. стекла. 2003. Т. 29. № 2. С. 191—204.